

実験計画法による海浜変形の研究

岐阜大学 工学部 正員 増田重臣
岐阜大学 大学院 学生員。伊藤政博

冒　　えがき

現在の海岸工学の分野において、未解決の点が多いため、海浜変形の機構を明らかにする目的で実験および解析を行なう。たゞ、海浜変形の過程、状態は非常に複雑であり、又これを支配する要素も非常に多いと考えられる。ここでは海浜変形を支配する主因子（実験的に条件を変化させることの可能なもの）、すなはち底質粒径、海底初期勾配、沖波波形勾配、波の継続時間）と主因子の特別な組合せによる寄与率（海浜変形に及ぼす影響度）を求める。そのため実験方法は実験計画法に基づいて実施し、解析には統計分析を行ない、変量分析法、統計的検定法で処理して。

2 実験方法および解析方法

実験計画表へしにがって実験順序を決定するため、表-1 の各工水準因子を表-2 の直交配列表 $L_8(2^7)$ の列番 1, 2, 4 にますと除く因子 A, B, C を割り引いて、直交配列表の行側 A-D を割り引いて直横型配列 $L_8(2^7) \otimes L_6(6')$ に下記方法を採用して。その結果実験順序は表-2 の NO. 1 ~ 8 を 2 サイクルで行なうものとする。実験状態は直横型直交配列表の各行の因子の水準に対応する条件で設定する。その場合の海底地形（海底断面形状）の時間的変化を調べるために、波を起し始めてから 30 分 1, 2, 4, 6, 8 時間後毎に測定を行なう。即ち断面形状の測定はゲージの先端に $75 \times 20 \text{ mm}$ の矩形型の金属板を取り付けてものを使用して、 20 cm 間隔で冲方向に連続的に行なう。

初期勾配と S.W.L (Still Water Level) が交わる点を原点として、横軸に汀線からの距離 x と冲浪波長 L_0 の比 x/L_0 、縦軸に測定値 η と L_0 の比 η/L_0 を取って、各時間毎に断面形状を無次元表示し、方眼紙上にプロットして。横軸上に間隔毎に、初期勾配と y/L_0 の差を方眼紙上から読み取って DATA X-axis として。

$$CF = \frac{(\text{全DATA} \times \text{平均})^2}{\text{全データの和}}$$

$$SSI_i = \sum \frac{(各水準 DATA の和)^2}{水準の DATA 数} - CF$$

$$SS_{ij} = \sum \sum \frac{(\text{各支店別用の水準別のDATAの和})^2}{\text{水準のDATA数}} - CF$$

表-1 各因子の水準値

	因 子	水 準 値
A	底質粒径(d ₅₀)	0.2 1.2
	比 重	2.64 2.64
B	海底初期勾配	1/10 1/18
	冲浪波形勾配 H/L	0.0059 0.0272
C	冲浪波高 H _o cm	6.70 17.38
	冲浪波長 L _o cm	13.16 6.3
D	運動勾配 H/L	0.025 0.0429
	波 高 H cm	7.35 16.8
E	波 長 L m	5.88 3.93
	波 週 C m/s	2.07 2.07
F	周 期 P s	2.84 1.9
	波の経験範囲	0.5 1 2 4 6 8

表二 1₂(?) ⊗ 1₆(6') 直積型配列表

列番号 No.	1	2	3	4	5	6	7	T ₁	T ₂	T ₃	T ₄	T ₅	T ₆
1	1	1	1	1	1	1	1	X ₁₁					X ₁₆
2	1	1	1	2	2	2	2						
3	1	2	2	1	1	2	2						
4	1	2	2	2	2	1	1						
5	2	1	2	1	2	1	2						
6	2	1	2	2	1	2	1						
7	2	2	1	1	2	2	1						
8	2	2	1	2	1	1	2	X ₈₁					X ₈₆
成分 分	a	b	a	c	a	b							
				b		c	c	c	X _{4m}	:	DATA		

$$S_{\star} = \frac{\text{全DATAの2乗和}}{\text{全DATA数}} - CF$$

$$S_e = S_{\star} - (\sum SS_i + \sum SS_{ij})$$

$$DF = \phi - 1$$

$$MS_k = SS_k / DF_k$$

$$F_k = MS_k / MS_e$$

$$T_k = \frac{SS_k - MS_e \times DF_k}{S_{\star}} \times 100$$

$$(k = i, j, ij)$$

以上の式から各因子、各因子の交互作用の分散比を求めて、それぞれ有意水準1%と5%で下検定を行なって。その結果有意でないものは誤差項 E ハーフルして [E] の MS を用いて、各因子、各因子の交互作用の寄与率を求める。

3 実験結果とその考察

上の分析から海浜変形に及ぼす諸因子の寄与率を検討して結果 A, A*B, A*C の3つが他の要因と比べて比較的大きな値を示すことが判明して。図-1は%の增加に対する寄与率 T の変動を A, A*B, A*C および [E] についてプロットしたものである。

A : (底質粒径) 汀線で T は約 25% の値を示し、沖方向に増加して、碎波点付近より沖側は減少する。xL=0.3 以上では 0.1% 近い値を示す。

A*B : (底質粒径 × 海底断面勾配) 汀線に接近するにつれてすみやかに減少し、xL=0.25 (碎波点付近より沖側) 以上で大さな値を示す。このことは砂渾の発生の原因と大きく関係するものと思われる。(ここで * は因子の交互作用を示す)

A*C : (底質粒径 × 碎波波形勾配) 碎波点付近まで多少上下の変動があるが、ほぼ一様な値を示す。A の寄与率と類似して形を取っている。

[E] : (測定誤差、他の因子による変動) 碎波点付近より沖側が大きな値を示す原因として、海浜変形の複雑化、砂渾の発生により多くの因子の影響が入り、また、測定に伴う誤差等が指摘される。一般的に各因子の寄与率は % 軸に沿って一定して値を持たず、変化が激しいことも興味ある現象といえる。

この実験で岐阜大学学生、柏原藤一郎・新美興一両君の御協力を得たこと深く感謝する。

CF : 修正項 (Correction Term)

SS_i, SS_{ij} : 平方和 (Sum of Squares)

S_{\star} : 全変動

S_e : 誤差変動

DF_k : 自由度 (Degree of Freedom)

MS_k : 平均平方(不偏分散) (Mean Square)

F_k : 分散比 (Variance Ratio)

T : 寄与率

%

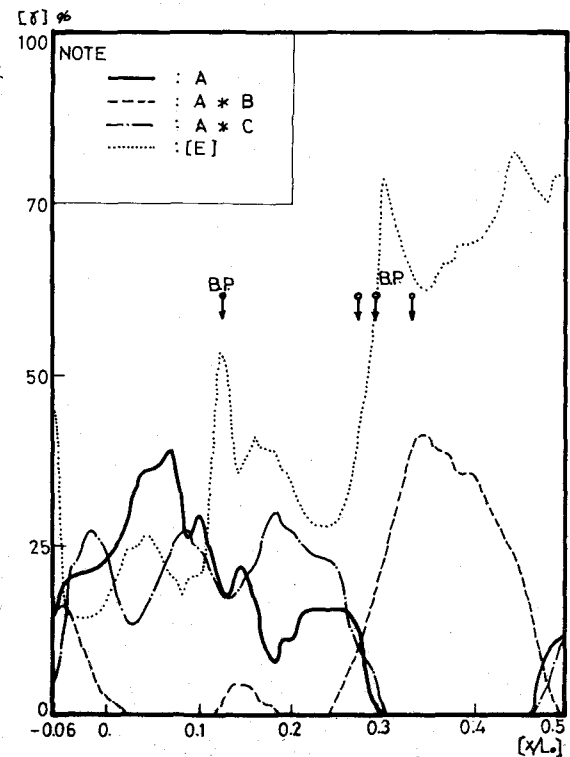


図-1 [xL] 軸方向の寄与率 T (%) の変動